

# Odwracanie macierzy szybką metodą iteracyjną w języku Julia

Kajetan Michalak, Krzysztof Pożoga, Filip Żarnowiec

28.01.25

## 1 Wstęp

Projekt polegał na implementacji iteracyjnego algorytmu odwracania macierzy, a następnie skorzystać z metod przyspieszania komputerowego wykonywania obliczeń i porównać uzyskane przyspieszenie. Obliczenia przyspieszamy poprzez dzielenie ich i rozdysponowywanie między dostępnymi zasobami takimi jak rdzenie procesora czy oddzielne maszyny liczące i wykonywanie ich równoległe.

W kontekście porównywania obliczeń równoległych algorytm ma dwie główne zalety. Pierwszą było łatwe zwiększanie złożoności obliczeniowej, która rośnie geometrycznie wraz ze wzrostem rozmiaru macierzy, generowanej losowo. Drugą było łatwe dzielenie obciążenia obliczeniowego – macierze można dzielić na mniejsze lub oddzielnie mnożyć pary wierszy i kolumn, później łącząc wyniki w całość.

W języku Julia dostępne są różne środowiska i biblioteki umożliwiające równoległe przetwarzanie danych, takie jak:

- **MPI (Message Passing Interface)**: Standard komunikacji międzyprocesowej, który umożliwia równoległe przetwarzanie na wielu węzłach obliczeniowych. MPI jest szczególnie przydatne w środowiskach klastrów obliczeniowych.
- **OpenCL (Open Computing Language)**: Framework do programowania równoległego, który umożliwia wykonywanie obliczeń na różnych urządzeniach, takich jak procesory, karty graficzne (GPU) oraz akceleratorzy.
- **CUDA (Compute Unified Device Architecture)**: Platforma programistyczna firmy NVIDIA, która umożliwia wykorzystanie mocy obliczeniowej kart graficznych do równoległego przetwarzania danych.
- **Distributed**: Wbudowane środowisko w Julii, które umożliwia łatwe tworzenie i zarządzanie równoległymi obliczeniami na wielu procesach, zarówno na jednym, jak i wielu węzłach obliczeniowych.

## 2 Iteracyjny algorytm odwracania macierzy

Iteracyjne metody odwracania macierzy opierają się na idei stopniowego poprawiania przybliżenia macierzy odwrotnej. Jednym z podejść jest wykorzystanie macierzy rezydualnej, która jest definiowana jako różnica między macierzą jednostkową a iloczynem macierzy wejściowej i jej aktualnego przybliżenia odwrotności. Formalnie, dla macierzy  $A \in \mathbb{R}^{n \times n}$ , macierz rezydualna  $R_k$  w  $k$ -tej iteracji jest dana wzorem:

$$R_k = I - AX_k$$

gdzie  $X_k$  jest aktualnym przybliżeniem macierzy odwrotnej  $A^{-1}$ . Celem algorytmu jest minimalizacja normy macierzy rezydualnej, co prowadzi do poprawy przybliżenia  $X_k$ . W kolejnych iteracjach, przybliżenie  $X_k$  jest aktualizowane zgodnie z wzorem:

$$X_{k+1} = X_k + \alpha R_k$$

gdzie  $\alpha$  jest współczynnikiem skalarnym, który może być dobierany w celu optymalizacji zbieżności algorytmu.

## 3 Zrównoleglenie obliczeń

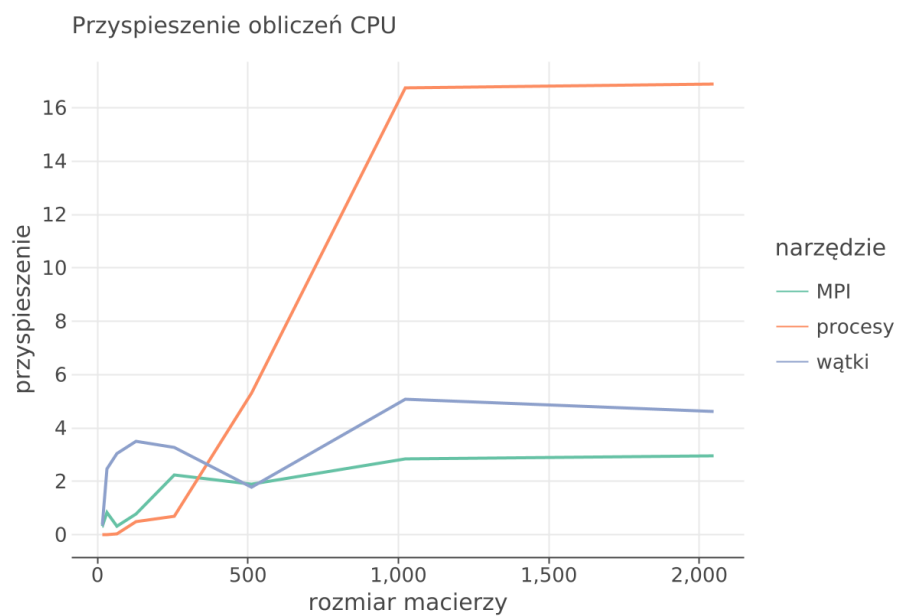
### 3.1 CPU

Dla operacji mnożenia macierzy, której złożoność wynosi  $O(N^3)$ , koszt pozostałych operacji może zostać pominięty dla odpowiednio dużych macierzy. Teoretycznie, program powinien przyspieszyć wprost proporcjonalnie do liczby wykorzystanych rdzeni. W naszym przypadku oczekiwany był 16-krotny wzrost wydajności względem wersji sekwencyjnej. Jednak ze względu na koszt komunikacji między wątkami oraz ograniczenia prędkości pamięci, wzrost ten nie jest proporcjonalny, a zwiększenie liczby wątków może nawet wydłużyć czas wykonania.

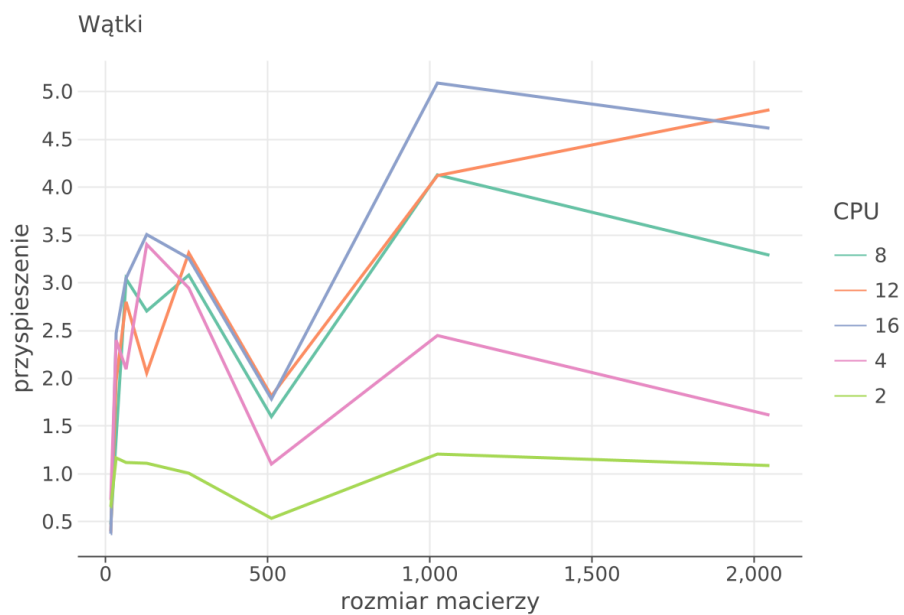
#### 3.1.1 Wątki

Pierwszym sposobem przyspieszenia obliczeń było rozdzielenie ich i rozdysponowanie na wątki, czyli oddzielne zadania które system operacyjny rozdziela między fizyczne jednostki obliczeniowe (rdzenie) procesora. Obliczenia w poszczególnych wątkach wykonywane są niezależnie od siebie nawzajem, ale współdzielą ze sobą jedną przestrzeń adresową, czyli pracują na tym samym obszarze pamięci. Implementacja wątków polegała na podziale macierzy na wiersze po równo pomiędzy dostępnych wątków i wykonanie mnożenia tylko dla tych kilku wierszy przez każdy proces.

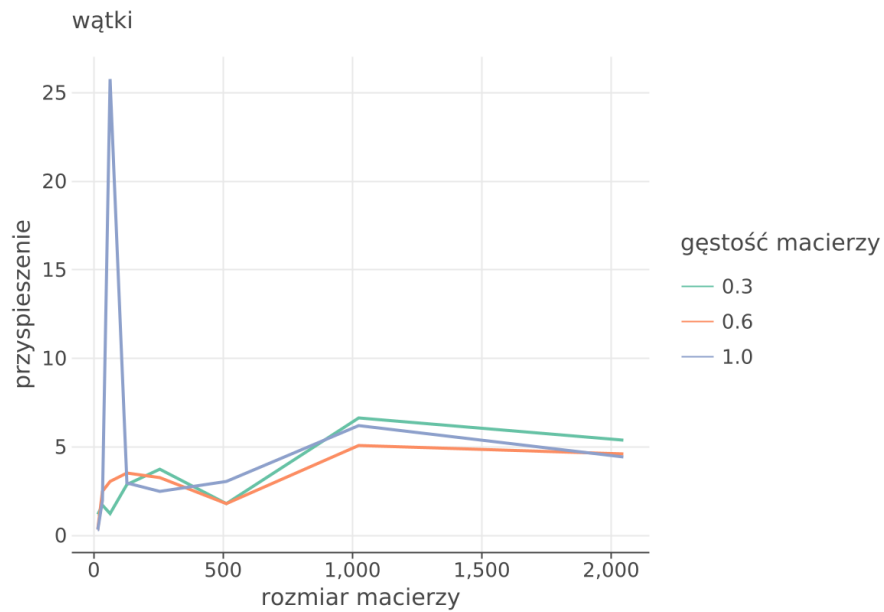
Do deklaracji i obsługi wątków posłużyła składnia "Threads.@threads" znajduje się w pakiecie Distributed.



Rysunek 1: Przyspieszenie dla obliczeń z wykorzystaniem CPU.



Rysunek 2: Uzyskane przyspieszenie dla wątków.



Rysunek 3: Uzyskane przyspieszenie dla wątków.

```

function parallel_row_multiply(A, B)
    n, m = size(A)
    _, p = size(B)

    C = Matrix{Float64}(undef, n, p)

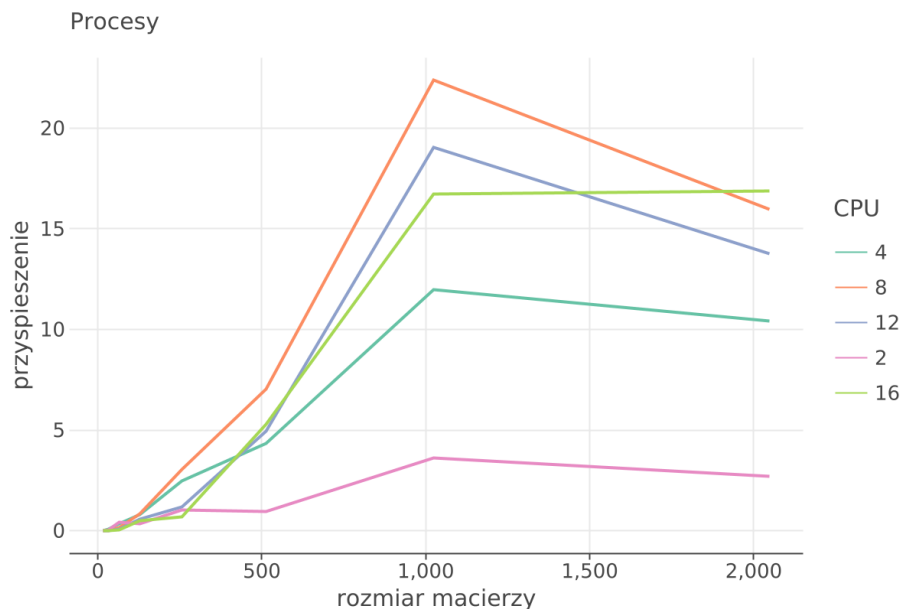
    Threads.@threads for i in 1:n
        row_A = view(A, i, :)
        for j in 1:p
            col_B = view(B, :, j)
            C[i, j] = sum(row_A[k] * B[k, j] for k in 1:m)
        end
    end

    return C
end

```

Listing 1: Fragment pliku threads.jl.

### 3.1.2 Procesy rozproszone



Rysunek 4: Uzyskane przyspieszenie dla procesów.

Drugim sposobem przyspieszenia obliczeń był podział na procesy rozproszone. W przeciwieństwie do wątków, będących stosunkowo lekkimi zadaniami bez własnej pamięci, przystosowanymi do działania na jednej maszynie, procesy rozproszone to bardziej pełne, odizolowane od siebie nawzajem niezależne zadania o własnych przestrzeniach adresowych. Takie rozwiązanie zakłada wydzielenie zasobów na każdy proces, co zwiększa koszt ich tworzenia, ale umożliwia prowadzenie równoległych obliczeń poza obrębem jednego urządzenia, np. na klastrach czy w chmurach, choć środowisko Julii nie rozróżnia, czy procesy mają działać na jednej maszynie, czy rozproszone między wieloma.

```
function parallel_row_multiply(A, B)
    n, m = size(A)
    _, p = size(B)

    C = SharedArray{Float64}(n, p)

    @sync @distributed for i in 1:n
        row_A = A[i, :]
        for j in 1:p
            C[i, j] = sum(row_A[k] * B[k, j] for k in 1:m)
```

```

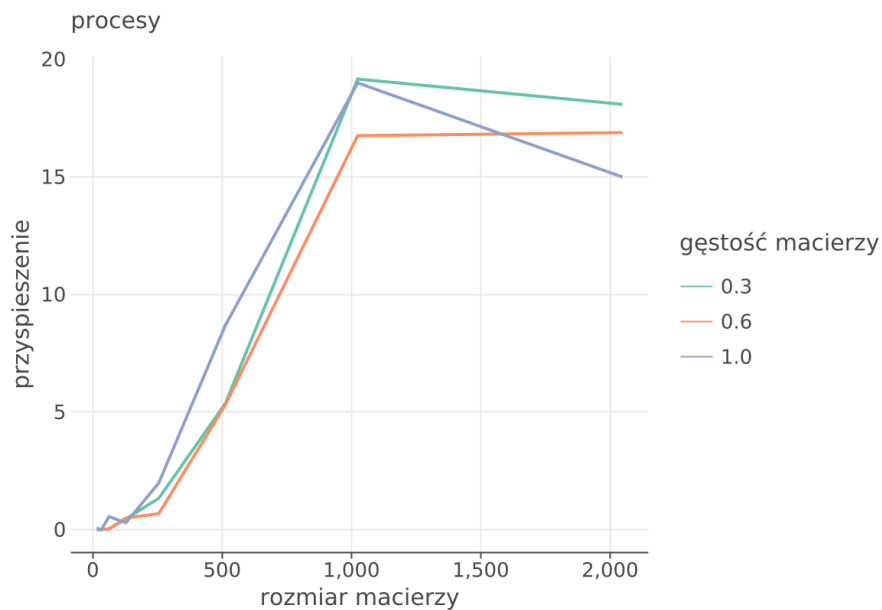
        end
    end

    return C
end

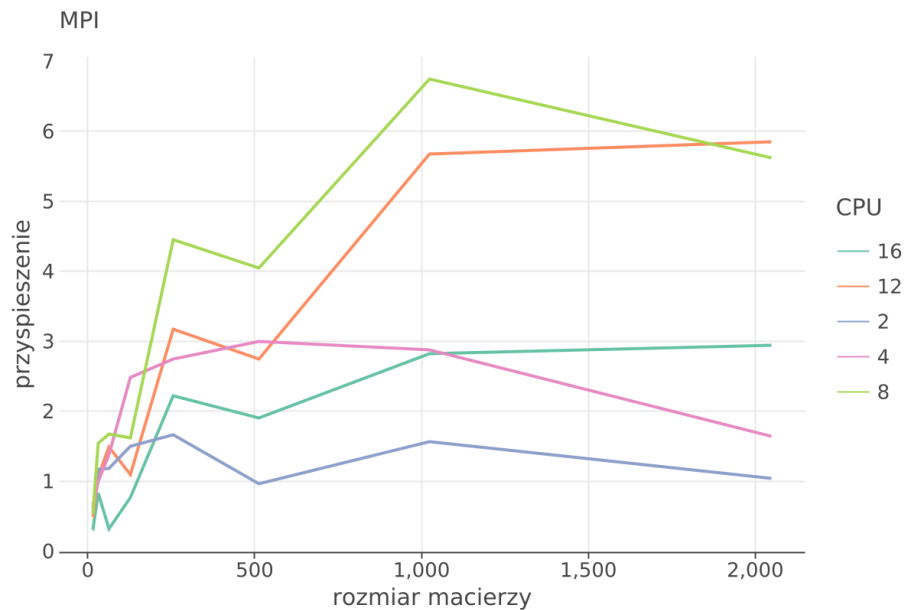
```

Listing 2: Fragment pliku distributed.jl.

Implementacja procesów rozproszonych była bardzo podobna do implementacji wątków, macierz znowu rozdzielano na wiersze przydzielane do danych procesów. Różnica polegała na wykorzystaniu struktury SharedArrays zamiast zwykłej tablicy, podczas rekonstruowania wynikowej macierzy. SharedArrays tworzy tablicę dostępną dla wszystkich podprocesów i dba o dostęp do zasobów w przypadku wystąpienia konfliktów. Dalej do deklaracji i obsługi wątków posłużyła składnia “@sync @distributed”, podobnie jak obsługa wątków pobrana z pakietu Distributed.



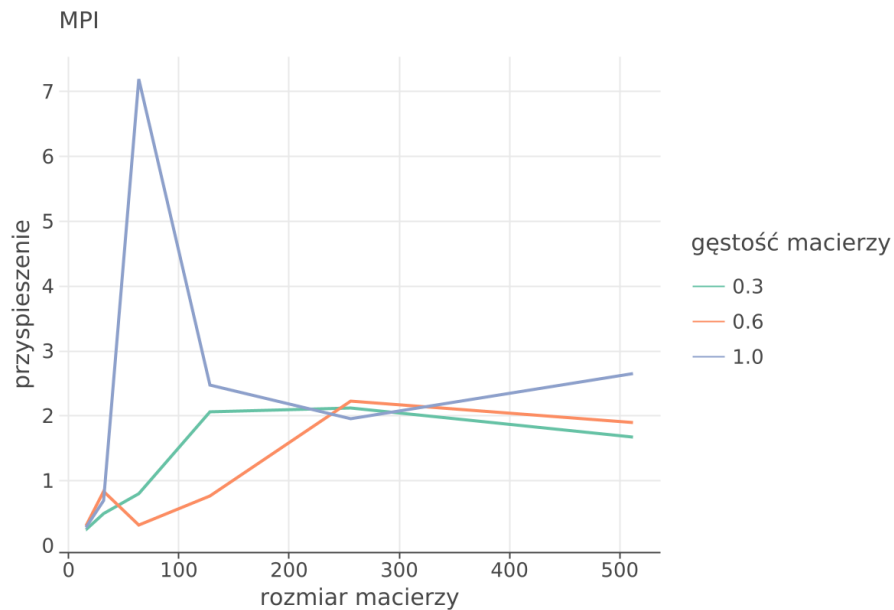
Rysunek 5: Uzyskane przyspieszenie dla procesów.



Rysunek 6: Uzyskane przyspieszenie dla MPI.

### 3.1.3 MPI

MPI w przeciwieństwie do pozostałych podejść nie umożliwia wykonania tylko części programu na osobnym wątku / procesie. Korzystając z MPI uruchamiamy wiele procesów, z których każdy wykonuje cały kod programu. Każdy proces ma swój zestaw zmiennych i różni się tylko wartością zmiennej “rank” będącą numerem danego procesu. Bazując na tej zmiennej możemy podzielić macierz i obliczenia podobnie jak w poprzednich rozwiązaniach, a następnie zsynchronizować wyniki korzystając z funkcji Gather oraz Bcast. Ze względu na duży koszt inicjalizacji MPI dla małych macierzy czas osiągnięty z użyciem MPI nie różni się zbytnio od czasu wykonania metody sekwencyjnej. Poprawa jest jednak widoczna, jeśli porównamy ten czas z czasem wykonania MPI dla jednego procesu.



Rysunek 7: Uzyskane przyspieszenie dla MPI.

## 3.2 GPU

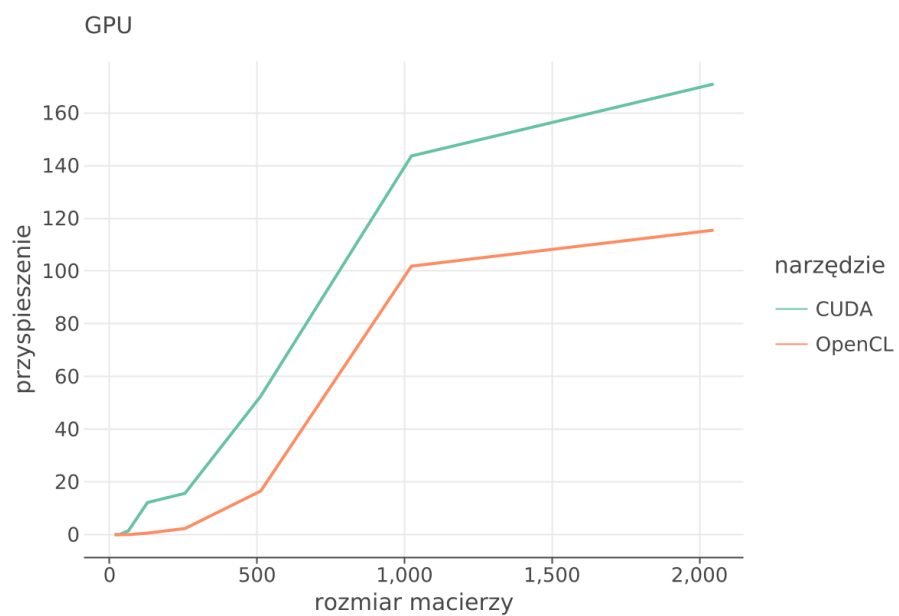
Obliczenia z wykorzystaniem jednostek graficznych (GPU) stanowią kluczową technologię przyspieszania operacji macierzowych dzięki masywnej równoległości oferowanej przez architekturę kart graficznych. W przeciwieństwie do CPU, które posiadają kilkadziesiąt rdzeni, nowoczesne GPU dysponują tysiącami prostych jednostek obliczeniowych, optymalizowanych pod kątem jednoczesnego wykonywania wielu operacji na dużych zbiorach danych. W kontekście odwracania macierzy, operacje takie jak mnożenie macierzy czy aktualizacja macierzy rezydualnej mogą być efektywnie zrównoleglone na GPU.

### 3.2.1 OpenCL

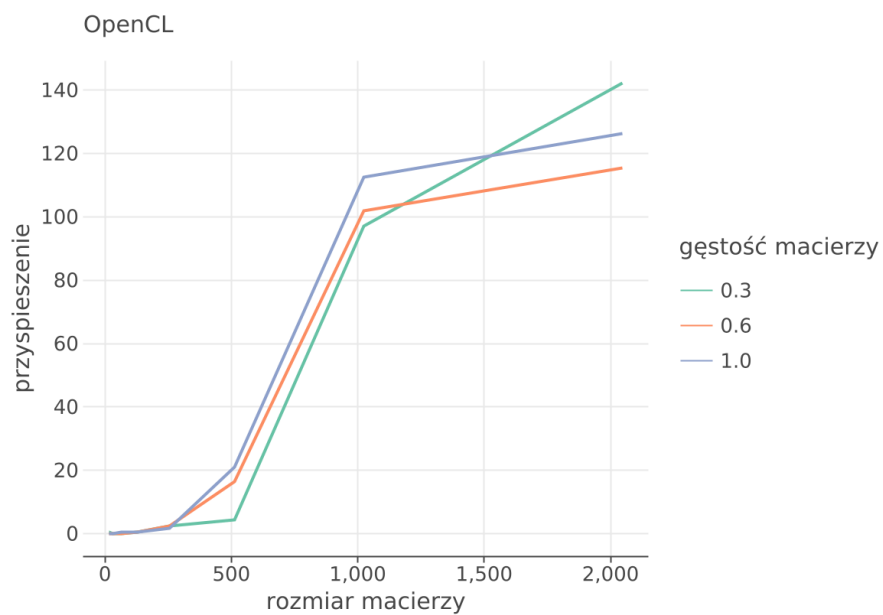
OpenCL (Open Computing Language) to otwarty standard umożliwiający programowanie heterogenicznych systemów zawierających procesory CPU, GPU oraz inne akceleratory.

```
kernel_source = ""
__kernel void mmul(
    const int Mdim,
    const int Ndim,
    const int Pdim,
    __global float* A,
```





Rysunek 8: Przyspieszenia uzyskana dla GPU.



Rysunek 9: Uzyskane przyspieszenie dla OpenCL.

```

    __global float* B,
    __global float* C)
{
    int k;
    int i = get_global_id(0);
    int j = get_global_id(1);
    float tmp;
    if ((i < Ndim) && (j < Mdim))
    {
        tmp = 0.0f;
        for (k = 0; k < Pdim; k++)
            tmp += A[i*Ndim+k] * B[k*Pdim+j];
        C[i*Ndim+j] = tmp;
    }
}
"""
prg = cl.Program(source=kernel_source) |> cl.build!
mmul = cl.Kernel(prg, "mmul")

function mat_mul_openCl(A::Matrix{Float32}, B::Matrix{Float32}):: Matrix{Float32}
    m, n = size(A)
    _, p = size(B)

    d_a = CLArray{Float32}(undef, m * n)
    d_b = CLArray{Float32}(undef, n * p)
    d_c = CLArray{Float32}(undef, m * p)
    copyto!(d_a, A)
    copyto!(d_b, B)
    C = zeros(Float32, p * m)

    global_size = (m, p)
    local_size = (min(m, 16), min(p, 16))

    cl.queue!(profile) do
        evt = clcall(mmul, Tuple{Int32, Int32, Int32, Ptr{Float32}, Ptr{Float32}}
            m, n, p, d_a, d_b, d_c; global_size, local_size)
        wait(evt)
        cl.copy!(C, d_c)
    end

    return reshape(C, p, m)
end

```

Listing 3: Fragment pliku opecl.jl.

### 3.2.2 CUDA

CUDA to platforma firmy NVIDIA dedykowana programowaniu kart graficznych tej marki. W Julii pakiet `CUDA.jl` abstrahuje niskopoziomowe detale, umożliwiając operacje na macierzach GPU przy użyciu składni zbliżonej do standardowych tablic. W przeciwieństwie do OpenCL, CUDA zapewnia głębszą integrację z bibliotekami optymalizacyjnymi (np. cuBLAS), co często przekłada się na wyższą wydajność.

W implementacji macierz `A` jest konwertowana do postaci CUDA array przy użyciu funkcji `CuArray`. Operacje takie jak mnożenie macierzy są delegowane do zoptymalizowanych kernelów CUDA, co minimalizuje narzut komunikacyjny.

```
function mat_mul_cuda(A::Matrix{Float32}, B::Matrix{Float32})::Matrix{Float32}
    m, n = size(A)
    _, p = size(B)

    d_a = CuArray{Float32}(undef, m, n)
    copyto!(d_a, A)
    d_b = CuArray{Float32}(undef, n, p)
    copyto!(d_b, B)
    d_c = CuArray{Float32}(undef, m, p)

    threads_per_block = (16, 16) # 16x16 threads per block
    blocks_per_grid = (ceil{Int}(m / threads_per_block[1]), ceil{Int}(p / threads_per_block[2]))

    @cuda threads=threads_per_block blocks=blocks_per_grid matmul_kernel(m, n, p)

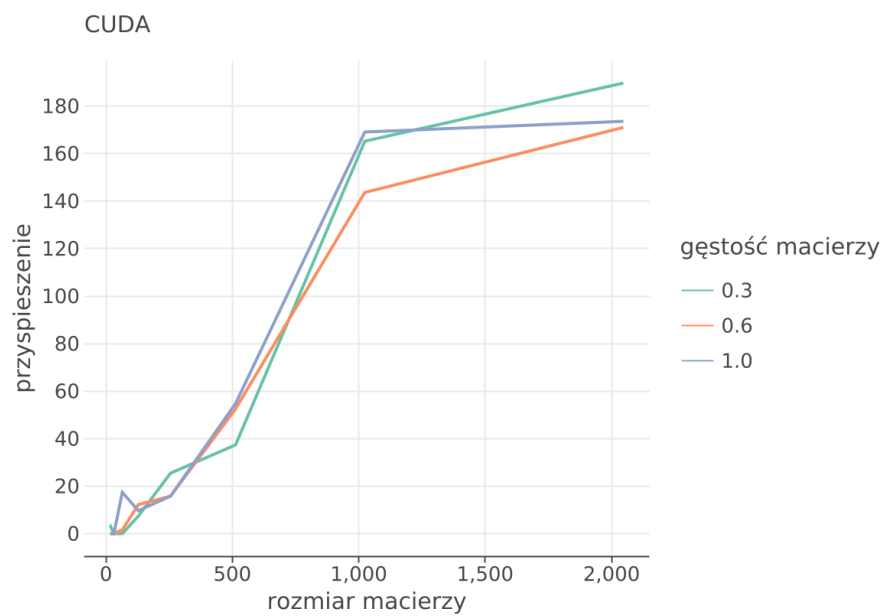
    C = Array(d_c)
    return C
end

function matmul_kernel(Mdim, Ndim, Pdim, A, B, C)
    i = threadIdx().x + (blockIdx().x - 1) * blockDim().x
    j = threadIdx().y + (blockIdx().y - 1) * blockDim().y

    if i <= Mdim && j <= Pdim
        tmp = 0.0f0
        for k in 1:Ndim
            tmp += A[i + (k - 1) * Mdim] * B[k + (j - 1) * Ndim]
        end
        C[i + (j - 1) * Mdim] = tmp
    end

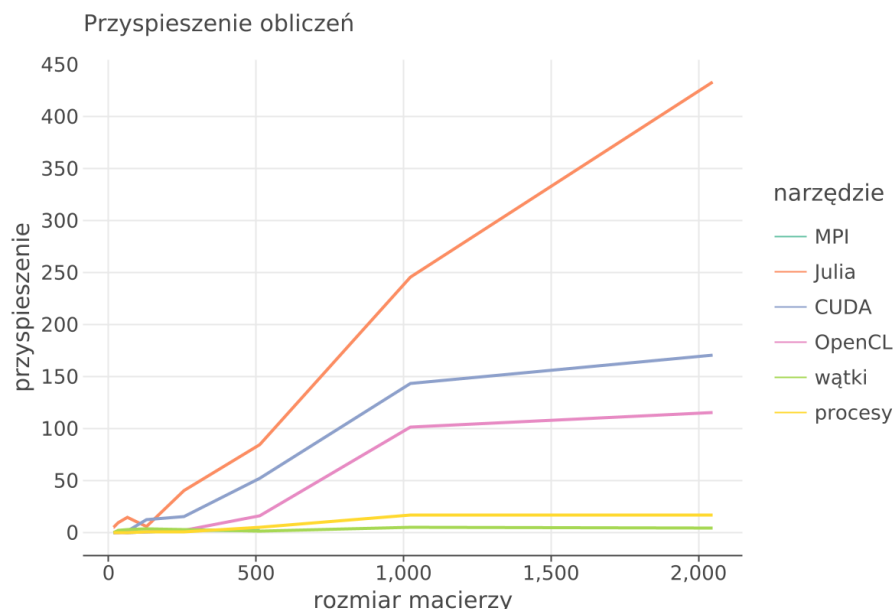
    return
end
```

Listing 4: Fragment pliku `cuda.jl`.



Rysunek 10: Uzyskane przyspieszenie dla CUDA.

## 4 Podsumowanie



Rysunek 11: Zestawienie wszystkich osiągniętych przyspieszeń.

Iteracyjne algorytmy odwracania macierzy, takie jak te wykorzystujące macierz rezydualną, są potężnym narzędziem w obliczeniach numerycznych, szczególnie w przypadku dużych macierzy. W połączeniu z metodami równoległymi dostępnymi w Julii, takimi jak MPI, OpenCL, CUDA oraz Distributed, możliwe jest znaczące przyspieszenie obliczeń, co czyni te metody atrakcyjnymi dla zastosowań wymagających wysokiej wydajności. Na wykresie 11 zostało narysowane przyspieszenie jakie uzyskalibyśmy używając wbudowanej funkcji Julii `inv`, nie mniej jednak nie jest to ten sam algorytm.

Wykorzystanie GPU pozwoliło osiągnąć istotne przyspieszenie algorytmu, szczególnie dla dużych macierzy. CUDA okazała się bardziej efektywna niż OpenCL w testowanym środowisku. Konsekwentnie przewyższa OpenCL o około 10-15% dzięki lepszej optymalizacji sterowników i wsparciu sprzętowemu. Należy jednak zauważyć, że dla małych macierzy (poniżej  $256 \times 256$ ) narzut związany z transferem danych pomiędzy CPU a GPU dominuje nad czasem obliczeń, co prowadzi do spadku wydajności.

## 5 Załącznik

Tabela 1: Wyniki czasowe dla różnych narzędzi

| Rozmiar | Gęstość | Czas [s]               | Narzędzie |
|---------|---------|------------------------|-----------|
| 16      | 0.3     | 2.357 773 232          | MPI       |
| 16      | 0.6     | 0.000 480 914          | MPI       |
| 16      | 1.0     | 0.000 452 207          | MPI       |
| 32      | 0.3     | 0.001 700 234          | MPI       |
| 32      | 0.6     | 0.001 130 74           | MPI       |
| 32      | 1.0     | 0.001 212 406          | MPI       |
| 64      | 0.3     | 0.007 466 136          | MPI       |
| 64      | 0.6     | 0.019 840 435          | MPI       |
| 64      | 1.0     | 0.008 784 743          | MPI       |
| 128     | 0.3     | 0.031 761 219          | MPI       |
| 128     | 0.6     | 0.090 567 704          | MPI       |
| 128     | 1.0     | 0.026 329 32           | MPI       |
| 256     | 0.3     | 0.291 963 187          | MPI       |
| 256     | 0.6     | 0.231 874 348          | MPI       |
| 256     | 1.0     | 0.245 763 76           | MPI       |
| 512     | 0.3     | 3.365 180 107          | MPI       |
| 512     | 0.6     | 3.048 924 586          | MPI       |
| 512     | 1.0     | 3.095 659 559          | MPI       |
| 16      | 0.3     | 0.712 204 263          | Julia     |
| 16      | 0.6     | 2.9263 $\cdot 10^{-5}$ | Julia     |
| 16      | 1.0     | 2.2582 $\cdot 10^{-5}$ | Julia     |
| 32      | 0.3     | 9.0326 $\cdot 10^{-5}$ | Julia     |
| 32      | 0.6     | 9.5908 $\cdot 10^{-5}$ | Julia     |
| 32      | 1.0     | 9.1296 $\cdot 10^{-5}$ | Julia     |
| 64      | 0.3     | 0.000 458 743          | Julia     |
| 64      | 0.6     | 0.000 438 757          | Julia     |
| 64      | 1.0     | 0.000 627 414          | Julia     |
| 128     | 0.3     | 0.004 204 031          | Julia     |
| 128     | 0.6     | 0.011 106 725          | Julia     |
| 128     | 1.0     | 0.001 994 829          | Julia     |
| 256     | 0.3     | 0.017 817 226          | Julia     |
| 256     | 0.6     | 0.012 844 398          | Julia     |
| 256     | 1.0     | 0.014 259 057          | Julia     |
| 512     | 0.3     | 0.156 404 377          | Julia     |
| 512     | 0.6     | 0.068 724 192          | Julia     |
| 512     | 1.0     | 0.075 225 804          | Julia     |
| 1024    | 0.3     | 0.687 923 982          | Julia     |

Kontynuacja na następnej stronie

Tabela 1 – Kontynuacja

| Rozmiar | Gęstość | Czas [s]         | Narzędzie    |
|---------|---------|------------------|--------------|
| 1024    | 0.6     | 0.591 214 471    | Julia        |
| 1024    | 1.0     | 0.484 816 861    | Julia        |
| 2048    | 0.3     | 3.237 261 68     | Julia        |
| 2048    | 0.6     | 3.081 839 316    | Julia        |
| 2048    | 1.0     | 3.345 443 433    | Julia        |
| 16      | 0.3     | 0.581 310 646    | sekwencyjnie |
| 16      | 0.6     | 0.000 148 505    | sekwencyjnie |
| 16      | 1.0     | 0.000 126 317    | sekwencyjnie |
| 32      | 0.3     | 0.000 834 153    | sekwencyjnie |
| 32      | 0.6     | 0.000 940 05     | sekwencyjnie |
| 32      | 1.0     | 0.000 839 022    | sekwencyjnie |
| 64      | 0.3     | 0.005 987 907    | sekwencyjnie |
| 64      | 0.6     | 0.006 347 909    | sekwencyjnie |
| 64      | 1.0     | 0.063 205 781    | sekwencyjnie |
| 128     | 0.3     | 0.065 682 766    | sekwencyjnie |
| 128     | 0.6     | 0.069 654 186    | sekwencyjnie |
| 128     | 1.0     | 0.065 109 441    | sekwencyjnie |
| 256     | 0.3     | 0.619 682 588    | sekwencyjnie |
| 256     | 0.6     | 0.516 469 818    | sekwencyjnie |
| 256     | 1.0     | 0.479 772 475    | sekwencyjnie |
| 512     | 0.3     | 5.619 057 941    | sekwencyjnie |
| 512     | 0.6     | 5.797 433 605    | sekwencyjnie |
| 512     | 1.0     | 8.229 096 77     | sekwencyjnie |
| 1024    | 0.3     | 153.231 875 677  | sekwencyjnie |
| 1024    | 0.6     | 145.096 377 773  | sekwencyjnie |
| 1024    | 1.0     | 160.282 845 676  | sekwencyjnie |
| 2048    | 0.3     | 1550.143 646 686 | sekwencyjnie |
| 2048    | 0.6     | 1335.386 705 195 | sekwencyjnie |
| 2048    | 1.0     | 1422.547 190 814 | sekwencyjnie |
| 16      | 0.3     | 0.170 270 4      | CUDA         |
| 16      | 0.6     | 0.005 698 6      | CUDA         |
| 16      | 1.0     | 0.004 126 5      | CUDA         |
| 32      | 0.3     | 0.074 266 2      | CUDA         |
| 32      | 0.6     | 0.008 781 7      | CUDA         |
| 32      | 1.0     | 0.004 669 5      | CUDA         |
| 64      | 0.3     | 0.205 787        | CUDA         |
| 64      | 0.6     | 0.004 204 3      | CUDA         |
| 64      | 1.0     | 0.003 642 8      | CUDA         |
| 128     | 0.3     | 0.008 767 7      | CUDA         |
| 128     | 0.6     | 0.005 659 6      | CUDA         |
| 128     | 1.0     | 0.006 616 1      | CUDA         |
| 256     | 0.3     | 0.024 234 3      | CUDA         |

Kontynuacja na następnej stronie

Tabela 1 – Kontynuacja

| Rozmiar | Gęstość | Czas [s]      | Narzędzie |
|---------|---------|---------------|-----------|
| 256     | 0.6     | 0.032 786 4   | CUDA      |
| 256     | 1.0     | 0.030 239 1   | CUDA      |
| 512     | 0.3     | 0.150 910 2   | CUDA      |
| 512     | 0.6     | 0.110 307 7   | CUDA      |
| 512     | 1.0     | 0.150 506 4   | CUDA      |
| 1024    | 0.3     | 0.927 846 3   | CUDA      |
| 1024    | 0.6     | 1.010 025 3   | CUDA      |
| 1024    | 1.0     | 0.948 066 9   | CUDA      |
| 2048    | 0.3     | 8.170 140 1   | CUDA      |
| 2048    | 0.6     | 7.811 118     | CUDA      |
| 2048    | 1.0     | 8.194 249 6   | CUDA      |
| 16      | 0.3     | 1.055 348 1   | OpenCL    |
| 16      | 0.6     | 0.079 282 3   | OpenCL    |
| 16      | 1.0     | 0.093 758 4   | OpenCL    |
| 32      | 0.3     | 0.136 208 3   | OpenCL    |
| 32      | 0.6     | 0.095 096 5   | OpenCL    |
| 32      | 1.0     | 0.078 579 3   | OpenCL    |
| 64      | 0.3     | 0.120 173 5   | OpenCL    |
| 64      | 0.6     | 0.125 672 1   | OpenCL    |
| 64      | 1.0     | 0.118 789 2   | OpenCL    |
| 128     | 0.3     | 0.151 661 7   | OpenCL    |
| 128     | 0.6     | 0.154 465 4   | OpenCL    |
| 128     | 1.0     | 0.158 793 6   | OpenCL    |
| 256     | 0.3     | 0.256 191 9   | OpenCL    |
| 256     | 0.6     | 0.221 521 1   | OpenCL    |
| 256     | 1.0     | 0.264 947 4   | OpenCL    |
| 512     | 0.3     | 1.277 544     | OpenCL    |
| 512     | 0.6     | 0.350 926 9   | OpenCL    |
| 512     | 1.0     | 0.392 200 5   | OpenCL    |
| 1024    | 0.3     | 1.577 474     | OpenCL    |
| 1024    | 0.6     | 1.424 054 7   | OpenCL    |
| 1024    | 1.0     | 1.423 308 6   | OpenCL    |
| 2048    | 0.3     | 10.898 781 8  | OpenCL    |
| 2048    | 0.6     | 11.564 530 5  | OpenCL    |
| 2048    | 1.0     | 11.257 500 6  | OpenCL    |
| 16      | 0.3     | 0.486 198 603 | wątki     |
| 16      | 0.6     | 0.000 395 828 | wątki     |
| 16      | 1.0     | 0.000 390 828 | wątki     |
| 32      | 0.3     | 0.000 492 127 | wątki     |
| 32      | 0.6     | 0.000 38      | wątki     |
| 32      | 1.0     | 0.000 431 074 | wątki     |
| 64      | 0.3     | 0.004 940 784 | wątki     |

Kontynuacja na następnej stronie



Tabela 1 – Kontynuacja

| Rozmiar | Gęstość | Czas [s]        | Narzędzie |
|---------|---------|-----------------|-----------|
| 64      | 0.6     | 0.002 083 967   | wątki     |
| 64      | 1.0     | 0.002 452 348   | wątki     |
| 128     | 0.3     | 0.022 971 497   | wątki     |
| 128     | 0.6     | 0.019 894 479   | wątki     |
| 128     | 1.0     | 0.022 087 794   | wątki     |
| 256     | 0.3     | 0.165 128 423   | wątki     |
| 256     | 0.6     | 0.158 547 046   | wątki     |
| 256     | 1.0     | 0.194 693 463   | wątki     |
| 512     | 0.3     | 3.164 272 012   | wątki     |
| 512     | 0.6     | 3.247 940 436   | wątki     |
| 512     | 1.0     | 2.717 175 805   | wątki     |
| 1024    | 0.3     | 23.099 593 465  | wątki     |
| 1024    | 0.6     | 28.508 693 832  | wątki     |
| 1024    | 1.0     | 25.813 517 938  | wątki     |
| 2048    | 0.3     | 287.087 960 38  | wątki     |
| 2048    | 0.6     | 289.465 987 54  | wątki     |
| 2048    | 1.0     | 319.780 516 516 | wątki     |
| 16      | 0.3     | 9.015 051 069   | procesy   |
| 16      | 0.6     | 0.067 128 571   | procesy   |
| 16      | 1.0     | 0.127 409 614   | procesy   |
| 32      | 0.3     | 0.134 201 325   | procesy   |
| 32      | 0.6     | 0.140 946 119   | procesy   |
| 32      | 1.0     | 0.174 218 379   | procesy   |
| 64      | 0.3     | 0.132 656 499   | procesy   |
| 64      | 0.6     | 0.202 198 699   | procesy   |
| 64      | 1.0     | 0.113 975 05    | procesy   |
| 128     | 0.3     | 0.142 215 133   | procesy   |
| 128     | 0.6     | 0.140 115 766   | procesy   |
| 128     | 1.0     | 0.229 387 488   | procesy   |
| 256     | 0.3     | 0.458 288 211   | procesy   |
| 256     | 0.6     | 0.750 487 998   | procesy   |
| 256     | 1.0     | 0.241 956 446   | procesy   |
| 512     | 0.3     | 1.046 022 811   | procesy   |
| 512     | 0.6     | 1.095 305 15    | procesy   |
| 512     | 1.0     | 0.946 096 929   | procesy   |
| 1024    | 0.3     | 7.996 448 589   | procesy   |
| 1024    | 0.6     | 8.667 795 961   | procesy   |
| 1024    | 1.0     | 8.435 315 526   | procesy   |
| 2048    | 0.3     | 85.744 941 651  | procesy   |
| 2048    | 0.6     | 79.067 052 116  | procesy   |
| 2048    | 1.0     | 94.782 029 899  | procesy   |